



Fot. 101. Aspecto general de las areniscas del Permo-Bunt,
en el afloramiento de Puig Moreno.



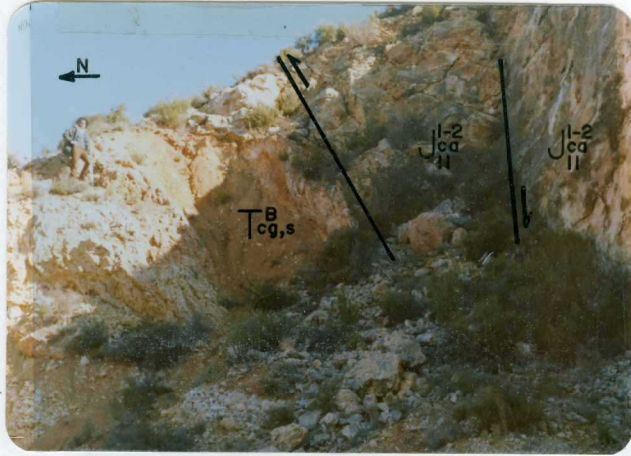
Fot. 102. Carniolas y dolomias laminadas del Hettangiense, con estructuras en slumps y brechas. Las direcciones de los slumps son en general hacia el S.



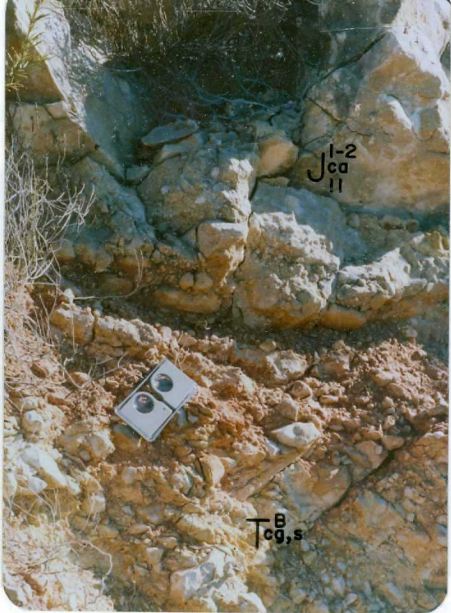
Fot. 103. Detalle de la anterior.



Fot. 104. Otro detalle más ampliado, en el que se aprecian los clastos de la brecha y las estructuras en slumps.



Fot. 105. Vista general del cabalgamiento del Jurásico (Hettangiene), sobre el Terciario (Mioceno). Las carniolas del J_{I-2}^{ca} , se encuentran sobre los conglomerados y limos arenosos del $T_{cg,s}^B$. Una falla normal retoca el cabalgamiento.



Fot. 106. Detalle del cabalgamiento y formaciones ya descritos en la foto anterior.



Fot. 107. Aspecto general del Paleogeno, plegado y del Mioceno, discordante y subhorizontal. Se muestra la inclinación de las capas paleogenicas.



Fot. 108. Vista de las areniscas consolidadas y de los limos y arenas de la formación Ts,^B,_{a.}



Fot. 109. Detalle de los lentejones de areniscas y estratificaciones cruzadas, en la formación Ts^B, a.



Fot. 110.- Fotografía en la que se muestran: la discordancia entre el Paleogeno ($T_{s,m}^A$), y los conglomerados y areniscas del Mioceno ($T_{cg,s}^B$). En primer plano, los glaciares de acumulación del Cuaternario.



Fot. III. Vista análoga a la anterior, pero en sentido contrario; aparece en primer término el Paleogeno y los Glacis, ya descritos; a la izquierda aparecen las formaciones del Mioceno y Mioceno Superior.



Fot. 112.- Niveles de conglomerados de la formación

T_{Eg}^B, s.



Fot. 113. Detalle de la anterior, se aprecian: la heterometría de los cantos; su naturaleza, predominantemente calcárea y la matriz arcillo-arenosa.



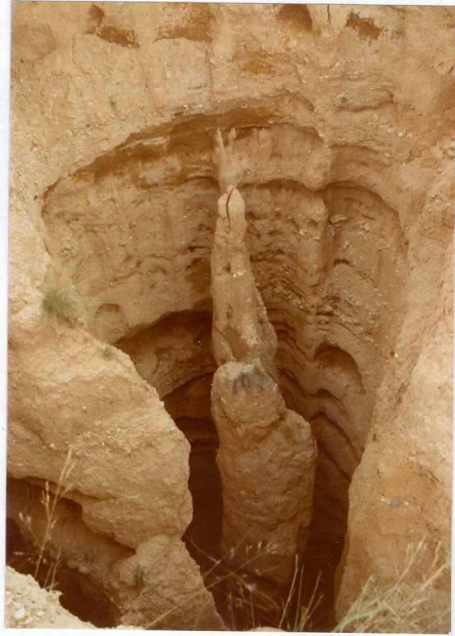
Fot. 114.- Vista de la parte alta de la formación con yesos masivos (T_{oy}^B) del Mioceno; del Glacis Plioceno y en primer término, niveles de terrazas.



Fot. 115. Niveles de areniscas en paleocauces, se aprecia la estructura lentejonar sobre las estratificaciones planares de la sedimentación normal.



Fot. 116. Fotografía análoga a la anterior, de las areniscas en paleocauces.



Fot. 117. Detalle de la erosión en las terrazas cuaternarias.